

- [6] Лифшиц И.М., Слезов В.В. // ЖЭТФ. 1958.  
Т. 35. С. 479-492.
- [7] Девятко Ю.Н., Тронин В.Н. // ФМЛ. 1987.  
Т. 63. В. 4. С. 635-644.

Московский  
инженерно-физический  
институт

Поступило в Редакцию  
13 сентября 1989 г.

Письма в ЖТФ, том 15, вып. 24

26 декабря 1989 г.

07; 09

## УЛУЧШЕНИЕ КАЧЕСТВА РАДИОГОЛОГРАФИЧЕСКИХ ИЗОБРАЖЕНИЙ

П.Д. Кухарчик, Н.И. Курilo,  
И.А. Титовицкий, Е.В. Бычинов,  
В.В. Рубаник

В работе [1] предложена голографическая схема для синтезирования двумерных длинноволновых голограмм ортогональными линейными антенными решетками. Данная схема обеспечивает синтезирование двумерной матрицы голографических данных с количеством  $M_1 \times M_2$  дискретных отсчетов посредством  $M_1 + M_2$  элементов линейных антенных решеток, что дает существенный выигрыш в количестве антенных элементов по сравнению с матричными голографическими схемами [2]. Однако данной голографической схеме присущи некоторые специфические aberrации, существование которых было обнаружено авторами работы [1] экспериментальным путем, и которые оказывают существенное влияние на качество голографических изображений. Цель данной работы состояла в проведении теоретического анализа aberrаций в голографической схеме в ортогональными линейными антенными решетками для параболических восстанавливающих волновых фронтов и оценке возможности их уменьшения.

Анализ схемы синтезирования построен с учетом предположений, что элементы передающей антенной решетки являются изотропными излучателями, а диаграмма направленности элементов приемной антенной решетки равномерна в пределах исследуемой зоны пространства. Геометрия голографической схемы приведена на рис. 1. Система координат  $x, Oy$ , выбрана таким образом, чтобы оси координат были параллельны обеим решеткам и делили их в точках пересечения на две равные части. В основу анализа положена методика классификации aberrаций, изложенная в работе [3].

В результате проведенного исследования авторами получено следующее выражение для волновых aberrаций третьего порядка:

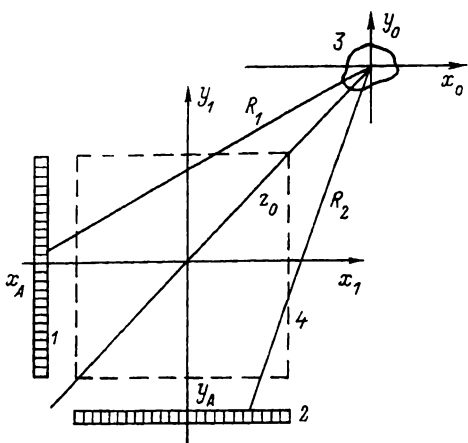


Рис. 1. Геометрия схемы синтезирования двумерных голограмм:  
1 - передающая антенная решетка, 2 - приемная антенная решетка,  
3 - голографический объект, 4 - синтезируемая двумерная голо-  
грамма.

$$\begin{aligned} \Phi_f = & -\frac{x_1^4 + y_1^4}{8} S_1 + \frac{x_1^3}{2} S_{2x} + \frac{y_1^3}{2} S_{2y} - \frac{1}{2} \left[ x_1^2 (S_{3x} + S'_{3x} + S''_{3x}) + \right. \\ & \left. + y_1^2 (S_{3y} + S'_{3y} + S''_{3y}) + x_1 y_1 S_{3xy} \right] - \frac{x_1^2 + y_1^2}{4} S_4 + \frac{1}{2} (x_1 S_{5x} + \\ & + y_1 S_{5y}) \end{aligned} \quad (1)$$

Отдельные компоненты аберраций имеют следующий вид:

Сферическая аберрация:  $S_1 = \frac{1}{z_0^3}$ .

Кома:  $S_{2x} = \frac{x_0}{z_0^3}$ ,  $S_{2y} = \frac{y_0}{z_0^3}$ .

Астигматизм:

$$\begin{aligned} S_{3x} &= \frac{x_0^2}{z_0^3}, \quad S'_{3x} = \frac{y_0^2}{2z_0^3}, \quad S''_{3x} = \frac{y_A y_0}{z_0^3}, \\ S_{3xy} &= \frac{x_0 y_0}{z_0^3}, \quad S_{3y} = \frac{y_0^2}{z_0^3}, \quad S'_{3y} = \frac{x_A^2}{2z_0^3}, \quad S''_{3y} = \frac{x_A x_0}{z_0^3}. \end{aligned}$$

Кривизна поля и дисторсия:

$$S_4 = \frac{x_0^2 + y_0^2}{z_0^3}, \quad S_{5x} = \frac{x_0^3 + x_0 (y_A - y_0)^2}{z_0^3}, \quad S_{5y} = \frac{y_0^3 + y_0 (x_A - x_0)^2}{z_0^3},$$

где  $x_0, y_0, z_0$  - координаты точек объекта;  $x_A, y_A$  - координаты точки пересечения линейных антенных решеток.

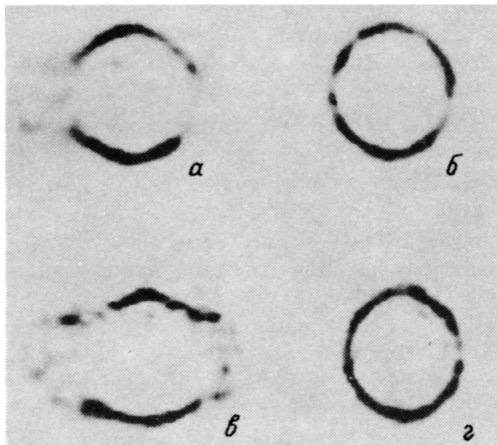


Рис. 2. Восстановленное изображение тестового объекта с использованием параболических восстанавливающих волновых фронтов: а, в - без компенсации компоненты  $S'_{3x}$ , б, г - с компенсацией компоненты  $S''_{3x}$ .

Из выражений (1) и (2) авторами были получены выражения для компонент геометрических аберраций.

Анализ выражений (1) и (2), а также выражений для компонент лучевых аберраций позволил сделать следующие выводы.

а) При использовании параболических восстанавливающих волновых фронтов всегда имеют место сферическая аберрация, уравнение аберрационных кривых для которой имеет вид

$$P = \rho S_r z_0 (1 + 3 \cos^2 2\theta)^{1/2},$$

где  $\rho$ ,  $\theta$  - сферические координаты, а также компоненты астигматизма  $S'_{3x}$ ,  $S'_{3y}$ , если координаты точки пересечения линейных антенных решеток не лежат на оптической оси системы.

б) Модуль большинства аберраций зависит от координат точек объекта, для минимизации аберраций голограммируемые объекты необходимо размещать на оси системы.

в) Параметры  $x_A$ ,  $y_A$ , характеризующие геометрию расположения линейных антенных решеток, желательно выбирать равными 0, что позволит устраниить компоненты  $S'_{3x}$ ,  $S''_{3x}$ ,  $S'_{3y}$ ,  $S''_{3y}$  аберраций.

г) Специфичной особенностью данной голографической схемы является существование компонент аберраций  $S_{3xy}$ ,  $S'_{3x}$ ,  $S''_{3x}$ ,  $S'_{3y}$ ,  $S''_{3y}$ , имеются отличия по сравнению с традиционными голографическими схемами в структуре других типов аберраций, в частности сферической аберрации и компонент астигматизма  $S_{3x}$ ,  $S_{3y}$ .

Чрезвычайно важное влияние на параметры голографических изображений, восстановленных по голограммам, синтезированным ортогональными линейными антennыми решетками, оказывают компоненты

$S'_{3x}$ ,  $S'_{3y}$ ,  $S''_{3x}$ ,  $S''_{3y}$  Принционально от них можно избавиться, если принять  $x_A = y_A = 0$ . В практическом плане это далеко не всегда возможно из-за сложности технической реализации такой голограммической схемы [4]. Если  $x_A = y_A$  устранение компонент  $S'_{3x}$ ,  $S'_{3y}$  достигается смещением плоскости фокусировки изображения. В противном случае необходимо производить раздельную фокусировку для поочередной компенсации компонент  $S'_{3x}$  и  $S'_{3y}$ .

Экспериментальная проверка возможности улучшения качества голограммических изображений за счет компенсации аберраций типа  $S'_{3x}$  или  $S'_{3y}$  проведена на радиоголограммическом комплексе, описанном в работе [4]. На рис. 2 представлены результаты, подтверждающие эффективность такой процедуры. Все изображения получены при использовании параболических восстанавливающих волновых фронтов. В качестве объекта использовалось металлическое кольцо с внешним диаметром 17.2 см и внутренним диаметром 12.5 см. На изображении на рис. 2, а сферическая аберрация достигает значения  $A_c = 0.42 \lambda$ , кома  $S_{2x} = S_{2y} = 0.18 \lambda$ , компоненты  $S'_{3x} = 0.79 \lambda$ ,  $S'_{3y} = 0$ . Изображение на рис. 2, б восстановлено из той же радиоголограммы, что и на рис. 2, а, однако в данном случае скомпенсирована аберрация  $S'_{3x}$ . На рис. 2, в, г имеют место  $S_r = 0.93 \lambda$ ,  $S_{2x} = S_{2y} = 0.39 \lambda$ . Кроме того, на рис. 2, в имеет место компонента  $S'_{3x} = 1.77 \lambda$ . Как видно из уравнения рис. 2, а, б, а также 2, в, г, присутствие сферической аберрации и комы не оказывает столь существенного влияния на изображения, как аберрации типа  $S'_{3x}$ . Нарушение структуры изображения вдоль оси  $x$  на рис. 2, а, в как раз и обусловлено наличием данной аберрации, однако после ее компенсации качество изображений существенно улучшено.

Таким образом, представленные результаты подтверждают возможность улучшения качества изображений, восстановленных по голограммам, синтезированным ортогональными линейными антенными решетками, посредством компенсации аберраций типа  $S'_{3x}$  или  $S'_{3y}$ .

#### Список литературы

- [1] Уэллс У.Х. Получение акустических изображений при помощи линейных антенн. Акустическая голограмма / Пер. с англ. под ред. Прохорова В.Г., Л.: Судостроение, 1975. С. 166-182.
- [2] Голограмма. Методы и аппаратура / Под ред. Гинзбург В.М. и Степанова Б.М. М.: Сов. радио, 1974. 376 с.
- [3] Борн Н., Вольф Э. Основы оптики. / Пер. с англ. под ред. Мотулевич Т.П. М.: Наука, 1973. 719 с.
- [4] Системы технического зрения (принципиальные основы, аппаратное и математическое обеспечение) / Под общ. ред. Писаревского А.Н., Чернявского А.Ф. Л.: Машиностроение, 1988. 424 с.

Поступило в Редакцию  
24 июля 1989 г.